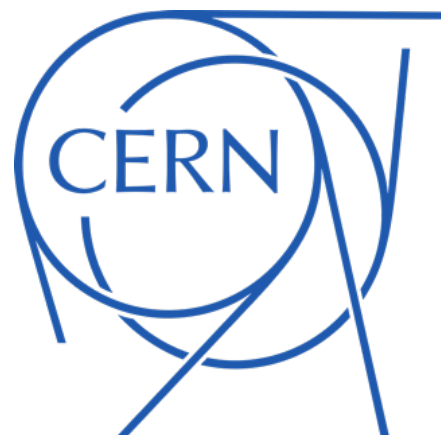




Istituto Nazionale di Fisica Nucleare



n_TOF & CSN3



Richieste 2024



| SEZIONI | RIASSUNTO RICHIESTE ESPERIMENTO N-TOF A CARICO DELL'INFN | | | | | | | | | | | | |
|-------------------|---|-------|------------|-------|-----|------|-------|------|--------|-------|-------|-------|--|
| | MISS | CONS | ALTRO CONS | TRASP | SEM | PUBB | MANUT | INV | LIC SW | APP | SER | TOT | |
| BA | 30 | 2 | 0 | 0 | 0 | 0 | 0 | 0 | 0 | 43 | 0 | 75 | |
| BA/FTE | 8.11 | 0.54 | 0 | 0 | 0 | 0 | 0 | 0 | 0 | 11.62 | 0 | 20.27 | |
| BO | 14 | 25 | 2 | 0 | 0 | 0 | 0 | 0 | 0 | 0 | 0 | 41 | |
| BO/FTE | 5.83 | 10.42 | 0.83 | 0 | 0 | 0 | 0 | 0 | 0 | 0 | 0 | 17.08 | |
| CT | 12 | 3 | 0 | 1 | 0 | 0 | 0 | 0 | 0 | 3.5 | 0 | 19.5 | |
| CT/FTE | 7.06 | 1.76 | 0 | 0.59 | 0 | 0 | 0 | 0 | 0 | 2.06 | 0 | 11.47 | |
| LNF | 11 | 19 | 0 | 0 | 0 | 0 | 0 | 0 | 0 | 0 | 0 | 30 | |
| LNF/FTE | 3.44 | 5.94 | 0 | 0 | 0 | 0 | 0 | 0 | 0 | 0 | 0 | 9.38 | |
| LNL | 24 | 21.5 | 0 | 0 | 0 | 0 | 0 | 0 | 0 | 0 | 0 | 45.5 | |
| LNL/FTE | 11.16 | 10 | 0 | 0 | 0 | 0 | 0 | 0 | 0 | 0 | 0 | 21.16 | |
| LNS | 18.5 | 2 | 0 | 0 | 0 | 0 | 0 | 0 | 0 | 25 | 93 | 138.5 | |
| LNS/FTE | 8.64 | 0.93 | 0 | 0 | 0 | 0 | 0 | 0 | 0 | 11.68 | 43.46 | 64.72 | |
| PG | 13 | 0 | 0 | 0 | 0 | 0 | 0 | 0 | 0 | 0 | 0 | 13 | |
| PG/FTE | 5.2 | 0 | 0 | 0 | 0 | 0 | 0 | 0 | 0 | 0 | 0 | 5.2 | |
| PV | 6.5 | 2 | 0 | 0 | 0 | 0 | 0 | 0 | 0 | 0 | 7 | 15.5 | |
| PV/FTE | 5.91 | 1.82 | 0 | 0 | 0 | 0 | 0 | 0 | 0 | 0 | 6.36 | 14.09 | |
| RM1 | 18.5 | 61.5 | 0 | 0 | 0 | 0 | 0 | 6.5 | 0 | 0 | 0 | 86.5 | |
| RM1/FTE | 11.56 | 38.44 | 0 | 0 | 0 | 0 | 0 | 4.06 | 0 | 0 | 0 | 54.06 | |
| TO | 32 | 11.5 | 0 | 0 | 0 | 0 | 0 | 27.5 | 0 | 0 | 0 | 71 | |
| TO/FTE | 3.81 | 1.37 | 0 | 0 | 0 | 0 | 0 | 3.27 | 0 | 0 | 0 | 8.45 | |
| TS | 21.5 | 1.5 | 0 | 0 | 0 | 0 | 0 | 0 | 0 | 0 | 0 | 23 | |
| TS/FTE | 7.17 | 0.5 | 0 | 0 | 0 | 0 | 0 | 0 | 0 | 0 | 0 | 7.67 | |
| TOTALE | 201 | 149 | 2 | 1 | 0 | 0 | 0 | 34 | 0 | 71.5 | 100 | 558.5 | |
| TOTALE/FTE | 6.3 | 4.67 | 0.06 | 0.03 | 0 | 0 | 0 | 1.07 | 0 | 2.24 | 3.14 | 17.51 | |



Istituto Nazionale di Fisica Nucleare

Richieste 2024



- *Completamento apparato per X17*
- *R&D nuovi rivelatori*
- *Acquisto campioni*
- *Spese fisiologiche & Servizi*
- *M&O*
- *Missioni*

Esperimenti a guida INFN - 2023

LNS Team

(BA, TO..)

| | Apr | May | Jun | Jul | Aug | | | | | | | | | | | | | | |
|-----|---------|-----|-----|-----------|-----|----|----|----|----|----|----|--------|---------------|----------------|-----|-----|----|----|----|
| Wk | 14 | 15 | 16 | 17 | 18 | 19 | 20 | 21 | 22 | 23 | 24 | 25 | 26 | 27 | 28 | 29 | 30 | 31 | 32 |
| Mo | 3 | 10 | 17 | 24 | 1 | 8 | 15 | 22 | 29 | 5 | 12 | 19 | 26 | 3 | 10 | 17 | 24 | 31 | 7 |
| Tu | 3 | | | | | | | | | | | | | | | | | | |
| We | 3 | | | | | | | | | | | | | | | | | | |
| Th | 3 | | | | | | | | | | | | | | | | | | |
| Fr | | | | | | | | | | | | | | | | | | | |
| Sa | | | | | | | | | | | | | | | | | | | |
| Su | | | | | | | | | | | | | | | | | | | |
| NEL | Imaging | | | Atlas Pix | | | | | | | | lasers | LiG+C / LaBr3 | TimePIX/GEMPIX | SIC | R2E | | | |

EAR1

RF invest det test comm

HPGE LoI (n, n') (7)

$^{181}\text{Ta}(n,g)$ Bicron/sTED (20)

$^{\text{nat}}\text{Er}(n,g)$ Bicron/sTED (20)

$^{30}\text{Si}(n,g)$ C6D6 (30)

$^{243}\text{Am}(n,f)$ MGAS (30)

Au activ.

Atlas Pix

Lasers

LiG+C / LaBr3

TimePIX/GEMPIX

SIC

R2E

Guglielmelli et al. (BO)

Cristallo et al. (PG)



n_TOF schedule 2023

| | Apr | May | Jun | Jul | Aug | | | | | | | | | | | | | | |
|----|-------------|------------------|-----|-------------------|-----|----|------------------|----|----|----|----|----|----|----|----|----|----|----|----|
| Wk | 14 | 15 | 16 | 17 | 18 | 19 | 20 | 21 | 22 | 23 | 24 | 25 | 26 | 27 | 28 | 29 | 30 | 31 | 32 |
| Mo | 3 | 10 | 17 | 24 | 1 | 8 | 15 | 22 | 29 | 5 | 12 | 19 | 26 | 3 | 10 | 17 | 24 | 31 | 7 |
| Tu | 3 | | | | | | | | | | | | | | | | | | |
| We | 3 | | | | | | | | | | | | | | | | | | |
| Th | 3 | | | | | | | | | | | | | | | | | | |
| Fr | Dallas det. | Capt. opti. (20) | | D-Stil. comm. (7) | | | SACS irrad. (28) | | | | | | | | | | | | |
| Sa | | | | | | | | | | | | | | | | | | | |
| Su | | | | | | | | | | | | | | | | | | | |

Lasers

243Am(n,f) MGAS (30)

30Si(n,g) C6D6 (7)

64Ni(n,g) sTED (15)

26Al(n,cp) EDI sili tele (60)

Capt. opti. (20)

D-Stil. comm. (7)

SACS irrad. (28)

| | Apr | May | Jun | Jul | Aug | | | | | | | | | | | | | | |
|-----|-----|-----|-----|---------------|-----|----|----|----|----|----|----|----|----|----|----|----|----|----|----|
| Wk | 14 | 15 | 16 | 17 | 18 | 19 | 20 | 21 | 22 | 23 | 24 | 25 | 26 | 27 | 28 | 29 | 30 | 31 | 32 |
| Mo | 3 | 10 | 17 | 24 | 1 | 8 | 15 | 22 | 29 | 5 | 12 | 19 | 26 | 3 | 10 | 17 | 24 | 31 | 7 |
| Tu | 3 | | | | | | | | | | | | | | | | | | |
| We | 3 | | | DIAM flux (7) | | | | | | | | | | | | | | | |
| Th | 3 | | | | | | | | | | | | | | | | | | |
| Fr | | | | | | | | | | | | | | | | | | | |
| Sa | | | | | | | | | | | | | | | | | | | |
| M-S | | | | | | | | | | | | | | | | | | | |
| M-R | | | | | | | | | | | | | | | | | | | |
| E | | | | | | | | | | | | | | | | | | | |

SACS irrad. (28)

Manna et al. (TO, BO)

Tagliente et al. (BA, BO, PG. TS)

Musumarra et al. (CT, BO)

Esperimenti a guida INFN - 2023

Manna et al. (BO)

| n_TOF schedule 2023 | | | | | | | | | | | | |
|---------------------|-----|-----|-----|-----|-----|-----|-----|-----|-----|-----|-----|----|
| | Aug | Sep | Sep | Oct | Nov | |
| Wk | 33 | 34 | 35 | 36 | 37 | 38 | 39 | 40 | 41 | 42 | 43 | 44 |
| Mo | 14 | 21 | 28 | 4 | 11 | 18 | 25 | 2 | 9 | 16 | 23 | 30 |
| Tu | | | | | | | | | | | | |
| We | | | | | | | | | | | | |
| Th | | | | | | | | | | | | |
| Fr | | | | | | | | | | | | |
| Sa | | | | | | | | | | | | |
| Su | | | | | | | | | | | | |
| NEL | R2E | SIC | | | | | | | | | | |

Mengoni et al. (BO)

PPAC particle ID
Sili Annular (n,cp) (10)
¹²C(n,cp) DDX (7)
Ar(n,tot) FC, MGAS, LiG, C6D6 (30)
Telescope flux det. (tbp 7)

Cosentino et al. (BA, BO, LNS)

| n_TOF schedule 2023 | | | | | | | | | | | | |
|---------------------|-----|-----|-----|-----|-----|-----|-----|-----|-----|-----|-----|----|
| | Aug | Sep | Sep | Oct | Nov | |
| Wk | 33 | 34 | 35 | 36 | 37 | 38 | 39 | 40 | 41 | 42 | 43 | 44 |
| Mo | 14 | 21 | 28 | 4 | 11 | 18 | 25 | 2 | 9 | 16 | 23 | 30 |
| Tu | | | | | | | | | | | | |
| We | | | | | | | | | | | | |
| Th | | | | | | | | | | | | |
| Fr | | | | | | | | | | | | |
| Sa | | | | | | | | | | | | |
| Su | | | | | | | | | | | | |

EAR2

26Al(n,cp) EDI sili tere (60)
Sili Annular (n,cp) (5-7)
In beam SILI strip Lol (5)
X17

| n_TOF schedule 2023 | | | | | | | | | | | | |
|---------------------|-----|-----|-----|-----|-----|-----|-----|-----|-----|-----|-----|----|
| | Aug | Sep | Sep | Oct | Nov | |
| Wk | 33 | 34 | 35 | 36 | 37 | 38 | 39 | 40 | 41 | 42 | 43 | 44 |
| Mo | 14 | 21 | 28 | 4 | 11 | 18 | 25 | 2 | 9 | 16 | 23 | 30 |
| Tu | | | | | | | | | | | | |
| We | | | | | | | | | | | | |
| Th | | | | | | | | | | | | |
| Fr | | | | | | | | | | | | |
| Sa | | | | | | | | | | | | |
| Su | | | | | | | | | | | | |
| M-S | | | | | | | | | | | | |
| M-R | | | | | | | | | | | | |
| E | | | | | | | | | | | | |

R2

Gustavino et al. (X17 Team)

Milestones 2023



| Milestones Concordate | |
|-----------------------|--|
| Data | Descrizione |
| 31-05-2023 | Costruzione e test del dimostratore del rivelatore per la misura di X17 |
| 31-12-2023 | Misura a EAR1 per la caratterizzazione del silicio anulare e GEMpix (proposal https://cds.cern.ch/record/2809189) subordinata alla schedula CERN. |
| 31-12-2023 | Misura a EAR2 per la caratterizzazione del silicio anulare e GEMpix (proposal https://cds.cern.ch/record/2809189) subordinata alla schedula CERN. |
| 31-12-2023 | Analisi dei dati raccolti su $^{94,95,96}\text{Mo}(n,g)$ in EAR1 ed EAR2. |
| 31-12-2023 | Irraggiamento campioni di presso NEAR, misura dell'attività con HPGe ed analisi preliminare delle sezioni d'urto mediate sullo spettro neutronico di NEAR (https://cds.cern.ch/record/2798978). |
| 31-12-2023 | Analisi dati del test dei rivelatori per X17 (uRwell, e scintillatori). |
| 31-12-2023 | Test di uRwell presso LNL ($p+19\text{F}$) per caratterizzazione della risposta del rivelatore a coppie e^+e^- dal diseccitamento di ^{16}O . Subordinato alla disponibilità di fascio a LNL. |
| 31-12-2023 | Test su fascio ed analisi dati delle prestazioni di rivelatori in stilbene deuterato per reazioni (n,g) - confronto con C6D6 ed sTED. |
| 31-12-2023 | Pubblicazione dei risultati del commissioning (caratterizzazione del fascio di neutroni a EAR1, EAR2 e NEAR). |
| 31-12-2023 | Studio dell'ottica e delle prestazioni CMOS per RIPTIDE e preparazione report/articolo. |
| 31-12-2023 | Misura della sezione d'urto $^{64}\text{Ni}(n,g)$ - proposal https://cds.cern.ch/record/2809947 . Subordinato alla schedula CERN. |
| 31-12-2023 | Analisi dati della reazione $^{160}\text{Gd}(n,g)$ - proposal https://cds.cern.ch/record/2782347/files/INTC-P-437-ADD-1.pdf |
| 31-12-2023 | Sviluppo e test del target per ^3He in collaborazione con il gruppo di criogenia del CERN. |

- ✓ G.Tagliente et al., **$^{89}\text{Y}(\text{n},\gamma)$: "High-resolution cross section measurements for neutron interactions on ^{89}Y with incident neutron energies up to 95 keV"**, Sottomesso a EPJA
- ✓ S.Amaducci, N.Colonna, L.Cosentino,S.Cristallo et al., **Measurement of the $^{140}\text{Ce}(\text{n},\gamma)$ cross section at n_TOF and its astrophysical implications for the Chemical Evolution of the Universe**, submitted to PRL
- ✓ NV Sosnin, C Lederer-Woods et al., **Measurement of the $^{77}\text{Se}(\text{n},\gamma)$ cross section up to 200 keV at the n_TOF facility at CERN**, Phys. Rev. C 107, 065805 – Published 12 June 2023
- ✓ V Michalopoulou, A Stamatopoulos et al., **Measurement of the neutron-induced fission cross section of Th 230 at the CERN n_TOF facility**, Phys. Rev. C 108, 014616 – Published 26 July 2023
- ✓ Pablo Torres-Sánchez et al. (The n_TOF Collaboration), **Measurement of the $^{14}\text{N}(\text{n},\text{p})^{14}\text{C}$ cross section at the CERN n_TOF facility from subthermal energy to 800 keV**, Phys. Rev. C 107, 064617 (2023)
- ✓ Tarrio, D., Tassan-Got, L., Durán et al., **Neutron-induced fission cross sections of Th-232 and U-233 up to 1 GeV using parallel plate avalanche counters at the CERN n_TOF facility**, Physical Review C 107, 044616 (2023)
- ✓ Lederer-Woods, C., Battino, U., Ferreira, P. et al., **Corrigendum: "Measurement of $^{73}\text{Ge}(\text{n},\gamma)$ cross sections and implications for stellar nucleosynthesis"**, Physics Letters, Section B: Nuclear, Elementary Particle and High-Energy Physics, 2023, 840, 137835
- ✓ Manna, A., Pirovano, E., Aberle, O. et al., **Recoil Proton Telescopes and Parallel Plate Avalanche Counters for the $^{235}\text{U}(\text{n},\text{f})$ cross section measurement relative to $\text{H}(\text{n},\text{n})\text{H}$ between 10 and 450 MeV neutron energy**, Journal of Instrumentation, 2023, 18(4), P04024
- ✓ Domingo-Pardo, C., Babiano-Suarez, V., Balibrea-Correa, J. et al., **Advances and new ideas for neutron-capture astrophysics experiments at CERN n_TOF**, European Physical Journal A, 2023, 59(1), 8
- ✓ G. Tagliente, S. Kopecky, J. Heyse et al., **$^{92}\text{Zr}(\text{n},\gamma)$ and (n,tot) measurements at the GELINA and n_TOF facilities**, Physical Review C 105, 025805 (2022)
- ✓ J. Moreno-Soto, S. Valenta, E. Berthoumieux et al., **Constraints on the dipole photon strength for the odd uranium isotopes**, Physical Review C 105, 024618 (2022)
- ✓ Lederer-Woods, C., Aberle, O., Andrzejewski, J., et al., **$^{74}\text{Ge}(\text{n}, \gamma)$ cross section below 70 keV measured at n_TOF CERN**, European Physical Journal A, 2022, 58(12), 239
- ✓ M. Mastromarco, S. Amaducci, et al., **High accuracy, high resolution $^{235}\text{U}(\text{n},\text{f})$ cross section from n_TOF (CERN) from 18 meV to 10 keV**, European Physical Journal A, 2022, 58(8), 147

Milestones 2024



| Milestones Concordate | | |
|-----------------------|--|---------------|
| Data | Descrizione | Completamento |
| 30-06-2024 | <u>Completamento</u> apparato per misure di cattura composto da 8 moduli p-stil | 0 |
| 30-06-2024 | <u>Sottomissione</u> proposal per misure di cattura ^{65}Cu and ^{67}Cu | 0 |
| 31-12-2024 | <u>Conclusione</u> analisi dati del test del dimostratore per l'esperimento X17 | 0 |
| 31-12-2024 | <u>Conclusione</u> report dell'esperimento X17 e sottomissione a rivista per pubblicazione | 0 |
| 31-12-2024 | <u>Conclusione</u> analisi dati delle reazioni $^{94,95,96}\text{Mo}(n,g)$ in EAR2 | 0 |
| 31-12-2024 | <u>Conclusione</u> analisi dati della misura della reazione $^{12}\text{C}(n,p)$ con rivelatore anulare e GEMpix | 0 |
| 31-12-2024 | Validazione utilizzo rivelatori LaBr ₃ (Ce) per misure di scattering inelastico (n,xn) con misure di reazioni note | 0 |
| 31-12-2024 | <u>Conclusione</u> analisi dati della reazione $^{160}\text{Gd}(n, g)$ e stesura articolo | 0 |
| 31-12-2024 | Misura della sezione d'urto delle reazioni $^{97,98,100}\text{Mo}(n,g)$ subordinata all'approvazione dell'INTC e alla schedula CERN | 0 |
| 31-12-2024 | Test rivelatore GEMpix in side-on configuration | 0 |
| 31-12-2024 | <u>Conclusione</u> analisi dati della reazione $^{64}\text{Ni}(n,g)$ | 0 |
| 31-12-2024 | <u>Conclusione</u> analisi dati per misure delle sezioni d'urto mediate sullo spettro neutronico di NEAR e sottomissione articolo | 0 |
| 31-12-2024 | <u>Realizzazione</u> e test del prototipo finale del target per l'esperimento X17 | 0 |

- LOI presentata a INTC di Novembre, per lo sviluppo di un apparato di rivelazione basato su scintillatori **LaBr₃(Ce)**, per misure di **scattering anelastico** di interesse per le tecnologie legate ai reattori e per applicazioni medicali (sez. Bari).
 - Il range di interesse va da qualche centinaio i keV a qualche decina di MeV.
 - A seguito degli effetti del g-flash, l'utilizzo dei rivelatori HPGe sono limitati a energie inferiori a pochi MeV.
 - Si intende usare rivelatori ad elevata granularità basati su cristalli LaBr₃ accoppiati a PMT (larghezza segnali <100 ns)
 - Obiettivo: costruire un **array di LaBr₃(Ce) e HPGe**
 - I risultati preliminari sono molto promettenti e indicano che si possono raggiungere le energie desiderate.
 - Investigare la risposta di cristalli LaBr₃(Ce) di varie dimensioni.
 - Validare la tecnica misurando reazioni note (ex. ²⁴Mg).
 - Istituti coinvolti: INFN, Univ. of Ioannina, Nuclear Physics Laboratory (UK)

Proposal in preparazione per INTC:

- **RAME-N** - Neutron induced reaction cross section measurement on ^{65}Cu and ^{67}Cu (n,γ), (n,n) and (n,n') independent measurements (Sez. Bologna).
 - Cu-63 and Cu-65 neutron capture, elastic and inelastic reactions are amongst the major contributors to the uncertainty on both k_{eff} as well as for fission spectral indexes for the **TAPIRO** reactor at ENEA-Casaccia Research Center.
 - Cross-section evaluations, show relevant differences between 50 - 100 keV for Cu-63 and for Cu-65, for different evaluated nuclear data libraries.
 - The **neutron inelastic and elastic** cross section measurements will be performed with specifically designed setups, to be developed within the framework of the present initiative.
 - set-up sperimentale con 8 moduli di rivelatori p-stil per misure (n,n).
- $^{97,98,100}\text{Mo}(n,\gamma)$ reaction cross section measurements at n_TOF -> addendum to CERN-INTC-P-569 (Sez. Bologna)

- Possibile proposal per misura $^{39}\text{Ar}(n,\alpha)$ in EAR2 (LNS).
 - Il branching point del *weak s-process* per ^{39}Ar determina la produzione di ^{36}S , ^{40}Ar e ^{40}K . In particolare, **l'abbondanza del ^{36}S è un constraint dell'evoluzione stellare.**
 - **Non sono disponibili dati sperimentali** ma solo un limite superiore della cross section al termico.
 - Il ^{39}Ar è disponibile a ILL, stiamo studiando le modalità di produzione del campione a ISOLDE per effettuare la **misura nel 2024 a n_TOF**.
 - l'apparato basato su rivelatori al silicio NTD, **con ampia copertura angolare**, ex. due rivelatori anulari e quattro rivelatori a sezione quadrata (geometria complessiva a simmetria cilindrica). Possibilità di complementare con rivelatore GEMpix per bassa soglia in energia.

Assegnazioni 2024 - Tagli

| SEZIONI | MISS | ESPERIMENTO n-TOF RIASSUNTO TAGLI PERCENTUALI | | | | | | | | | | | TOT |
|---------------|-------------|--|---------------|------------|----------|----------|----------|----------|-----------|-------------|----------|-------------|-----------------|
| | | CONS | ALTRÒ CONS | TRASP | SEM | PUBB | MANUT | INV | LIC SV | APP | SER | | |
| BA | 35 | 100 | 0 | 0 | 0 | 0 | 0 | 0 | 0 | 65.1 | 0 | | 54 |
| BO | 0 | 0 | 100 | 0 | 0 | 0 | 0 | 0 | 0 | 0 | 0 | | 4.9 |
| CT | 8.3 | 0 | 0 | 100 | 0 | 0 | 0 | 0 | 0 | 0 | 0 | | 10.3 |
| LNF | 9.1 | 0 | 0 | 0 | 0 | 0 | 0 | 0 | 0 | 0 | 0 | | 3.3 |
| LNL | 29.2 | 14 | 0 | 0 | 0 | 0 | 0 | 0 | 0 | 0 | 0 | | 22 |
| LNS | 16.2 | 0 | 0 | 0 | 0 | 0 | 0 | 0 | 0 | 4 | 0 | | 2.9 |
| PG | 42.3 | 0 | 0 | 0 | 0 | 0 | 0 | 0 | 0 | 0 | 0 | | 42.3 |
| PV | 61.5 | 100 | 0 | 0 | 0 | 0 | 0 | 0 | 0 | 0 | 28.6 | | 51.6 |
| RM1 | 27 | 3.3 | 0 | 0 | 0 | 0 | 0 | 0 | 0 | 0 | 0 | | 8.1 |
| TO | 60.9 | 0 | 0 | 0 | 0 | 0 | 0 | 0 | 0 | 0 | 0 | | 27.5 |
| TS | 46.5 | 0 | 0 | 0 | 0 | 0 | 0 | 0 | 0 | 0 | 0 | | 43.5 |
| TOTALE | 33.1 | 6 | 100 | 100 | 0 | 0 | 0 | 0 | 0 | 40.6 | 2 | 19.6 | 445.5 k€ |

"Le missioni per i turni sono state finanziate considerando il numero di turni stabiliti nella collaborazione internazionale.

Le richieste di inventario e consumo per le varie attivita' elencate nella prima sezione sono state generalmente **accolate** con piccoli tagli.

Le richieste per X17 sono state tutte messe sj al risultato dell'importante test che si effettuera' al CERN ad ottobre, che dovrà dimostrare la fattibilità della misura con l'apparato proposto e alla stesura di un update della LOI presentata nel 2022 dato che il progetto del rivelatore e' cambiato in maniera sostanziale"

Assegnazioni 2024

250 + 195.5 SJ



Escluso missioni e M&O: 62 + 162.5 SJ k€

- **X17 (RM, TO, LNL): 12 + 111.5 SJ (55%)**
- **Cattura (BO, TS): 1.5 + 25 SJ (12%)**
- **GEMpix (LNF, PV): 25 +2 SJ (12%)**
- **Silicio NTD (LNS): 24 SJ (11%)**
- **LaBr3 (Ba, LNS): 17 (7%); 28 NDB**
- **Stilbene (CT): 6.5 (3%)**

Missioni (k€)

Due Shift Points

| | |
|---|------|
| • BA (6 PERSONE - 3.7 FTE): 14 + 5.5 SJ (5.3/FTE) | 30 |
| • BO (5 PERSONE - 2.4 FTE): 14 (5.8/FTE) | 22.5 |
| • CT (2 PERSONE - 1.7 FTE): 10 +1 SJ (6.5/FTE) | 15 |
| • LNF (5 PERSONE - 3.2 FTE): 6 +4 SJ (3/FTE) | 22.5 |
| • LNL (3 PERSONE - 2.15 FTE): 10.5 + 6.5 SJ (8/FTE) | 22.5 |
| • LNS (5 PERSONE - 2.14 FTE): 11.5 + 4 SJ (7.2/FTE) | 30 |
| • PG (6 PERSONE - 2.5 FTE): 4.5 +3 SJ (3/FTE) | 15 |
| • PV (3 PERSONE - 1.1 FTE): 2.5 (2.3/FTE) | 0 |
| • RM1 (2 PERSONE - 1.6 FTE): 9.5 + 4 SJ (8.4/FTE) | 7.5 |
| • TO (13 PERSONE - 8.4 FTE): 10 + 2.5 SJ (1.5/FTE) | 22.5 |
| • TS (4 PERSONE - 3 FTE): 9 + 2.5 SJ (3.8/FTE) | 22.5 |



Istituto Nazionale di Fisica Nucleare



Grazie per l'attenzione